

خواص ساختاری و الکترونی بلور سریم حاصل از محاسبات LDA+U

فاطمه خردمند^۱ و سعید جلالی اسدآبادی^۲

۱. گروه فیزیک، دانشکده علوم، دانشگاه اصفهان، خیابان هزار جریب، اصفهان
۲. مرکز تحقیقات علوم و تکنولوژی نانو، دانشگاه اصفهان، خیابان هزار جریب، اصفهان

(دریافت مقاله: ۸۶/۱۰/۹؛ دریافت نسخه نهایی: ۸۷/۲/۱۸)

چکیده

ویژگیهای ساختاری، الکترونی و مغناطیسی بلور سریم در دو فاز همساختار آلفا و گاما بر مبنای نظریه تابعی چگالی مورد بررسی قرار گرفته اند. حجم تعادلی و گشتاور مغناطیسی فاز آلفا با استفاده از تقریب شیب تعمیم یافته (GGA) به ترتیب برابر با $27/64 \text{ \AA}^3$ و 0.0018 \mu_B محاسبه شده اند. سازگاری نتایج تقریب GGA با داده های تجربی نشان می دهد که الکترونهای 4f در فاز آلفا غیر جایگزیده می باشند. چگالی حالتها، حجم تعادلی و گشتاور مغناطیسی فاز آلفا با در نظر گرفتن همبستگی قوی بین الکترونهای 4f با استفاده از رهیافت GGA+U و انتخاب $U = 6/1 \text{ eV}$ محاسبه شده اند. مقایسه چگالی حالتها 4f حاصل از تقریبهای GGA و GGA+U نشان می دهد که در نظر گرفتن همبستگی بین الکترونهای 4f تاثیر قابل توجهی بر ساختار الکترونی فاز آلفا ندارد و سبب عقب نشینی چگالی حالتها 4f در فاز آلفا نمی شود. این نتیجه با تجربه که نشان دهنده غیر جایگزیده بودن الکترونهای 4f در فاز آلفاست سازگار است. حجم تعادلی در فاز گاما با استفاده از تقریبهای LDA و GGA قابل محاسبه نمی باشد و کمینه منحنی انرژی بر حسب حجم، به سمت حجم تعادلی فاز همساختار آلفا که دور از مقدار تجربی فاز گاماست میل می کند. حجم تعادلی فاز گاما با در نظر گرفتن همبستگی قوی بین الکترونهای 4f و با استفاده از روش LDA+U و به کار بردن پارامتر هابارد $U = 4/4 \text{ eV}$ سازگار با تجربه محاسبه شده است. نتایج ما در فاز گاما نشان می دهند که چگالی حالتها 4f، برخلاف فاز آلفا پس از اعمال LDA+U به دو شاخه پر و خالی شکافته می شوند و شاخه مربوط به اربیتالهای پر از سطح فرمی دور می گردد. گشتاور مغناطیسی فاز گاما و فشار گذار فاز آلفا - گاما محاسبه و با مقادیر تجربی مقایسه شده اند.

واژه های کلیدی: دستگاههای همبسته قوی، محاسبات ابتدا به ساکن، روش LDA+U، بلور سریم، الکترونهای 4f، فاز آلفا و فاز گاما

۱. مقدمه

پیش بینی خواص الکترونی مواد همبسته قوی با محاسبات ابتدا به ساکن از جمله مسایل چالش برانگیز است. تقریب چگالی موضعی (LDA) و تقریب شیب تعمیم یافته (GGA) در پیش بینی رفتار دستگاههای همبسته قوی چندان موفق عمل نکرده اند. آنیسمو و همکارانش با ترکیب مدل هابارد و نظریه تابعی چگالی رهیافتی را برای در نظر گرفتن همبستگی بین الکترونها ارائه کردند [۱-۳]. رهیافت ایشان، که اکنون به LDA+U شهرت دارد، توسط دیگران تعمیم داده شده است [۴-۶]. سریم به عنوان اولین عنصر در سری لاتانیدها و فراوانترین خاک نادر در طبیعت با خواصی منحصر به

فرد و غیر قابل پیش بینی یکی از مهمترین عناصر همبسته قوی به شمار می رود. آرایش اتمی عنصر سریم به صورت $(5d^1, 6s^2, 4f^1, 5p^6, 5s^2)$ می باشد. سریم در شرایط متعارفی در فاز غیرمغناطیسی آلفا، با ثابت شبکه $4/824 \text{ \AA}$ و ساختار بلوری fcc، تشکیل می شود. تجربه نشان داده است که سریم با افزایش دما از فاز غیرمغناطیسی آلفا به فاز فرومغناطیسی گاما یک گذار همساختار انجام می دهد. ثابت شبکه ساختار fcc فاز گاما برابر با $5/161 \text{ \AA}$ می باشد که نسبت به فاز آلفا افزایش یافته است. با افزایش فشار، سریم از فاز گاما به فاز کوچکتر آلفا رمبش می کند [۷]. این گذار فاز همساختار جامد - جامد که بین دو حالت غیرمغناطیسی و

ساکن به بررسی نحوه رفتار الکترونیهای ۴f بلور سریم و میزان جایگزیدگی آنها در فازهای آلفا و گاما پرداخته‌ایم و فشار گذار فاز آلفا - گاما را به دست آورده‌ایم.

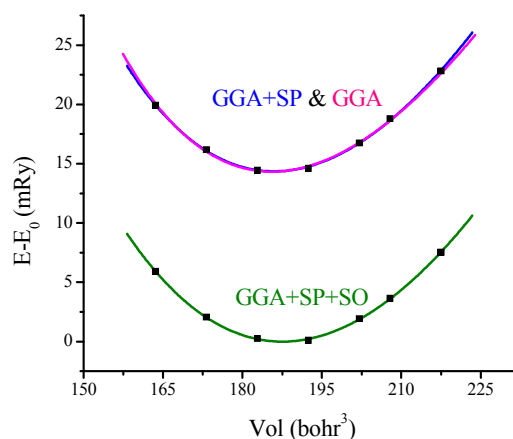
۲. روش انجام محاسبات

کلیه محاسبات با استفاده از کد WIEN2k [۱۰] و بر اساس نظریه تابعی چگالی [۱۱] انجام شده‌اند. برای حل معادلات کوهن-شم از توابع پایه APW+lo استفاده کرده‌ایم. در این محاسبات شعاع کرات موافق - تین برابر با ۲ bohr در نظر گرفته شده است. چگالیهای الکترونی و پتانسیل داخل کرات موافق - تین بر حسب توابع هارمونیک کروی با شعاع قطع $I_{\max}=10$ و در ناحیه بین جایگاهی با استفاده از بسط فوریه محاسبه شده‌اند. پارامتر $R_{\text{MT}}K_{\text{max}}$ و ضریب ادغام برابر با ۷/۰۰ و ۰/۰۱ در نظر گرفته شده‌اند. یک مش متشکل از تعداد ۲۲۰ نقطه k خاص برای محاسبه انتگرالهای حالت ظرفیت در لبه ناحیه کاهش ناپذیر بریلوین که متناظر با شبکه $19 \times 19 \times 19$ بر طبق روش مونخارست - پک می‌باشد، انتخاب شده است. کلیه محاسبات در دمای صفر درجه کلونین انجام شده‌اند.

۳. نتایج محاسبات

۳.۱. فاز آلفا

در شکل ۱ منحنی انرژی بر حسب حجم با استفاده از معادله حالت بریش - مورناگان با تقریب GGA رسم شده است. در این شکل همچنین اثر قطبش اسپینی (SP) و اثر برهمکنش اسپین-مدار (SO) نشان داده شده‌اند. در جدولهای ۱ و ۲ مقادیر محاسبه شده حاصل از GGA، GGA+SP، و GGA+SP+SO با یکدیگر و همچنین با نتایج تجربی و محاسباتی دیگران مقایسه شده‌اند. اعمال قطبیدگی اسپین تغییر چندانی در نمودار انرژی بر حسب حجم ایجاد نمی‌کند که دلیلی بر غیرمغناطیسی بودن فاز آلفا می‌باشد. مقدار گشتاور مغناطیسی کل به دست آمده از محاسبات (جدول ۲) و داده‌های تجربی نیز موید این مطلب هستند. با در نظر گرفتن برهم‌کنش اسپین - مدار، منحنی انرژی بر حسب حجم پایدارتر و ثابت شبکه نیز به مقدار تجربی نزدیکتر شده‌اند. برهم‌کنش اسپین - مدار که تبهگنی ناشی از تقارن خطی را از بین می‌برد، باعث ایجاد جابه‌جایی



شکل ۱. نمودار انرژی بر حسب حجم حاصل از تقریبهای GGA، GGA+SP و GGA+SP+SO برای فاز آلفا.

جدول ۱. حجم تعادلی فازهای α و γ بلور سریم (بر حسب \AA^3).

روش	فاز α	فاز γ
LSD[V]	۲۴/۷	
LSD_SIC[V]		۳۲/۶
LDA+U[۱۲]		۳۵/۱۶
SIC+LDA[۱۳]	۲۸/۴۲	۳۴/۳۴
SIC+LDA[۱۳]	۲۵/۹۰	۳۴/۰۰
SIC+LDA[۱۴]	۲۴/۸۰	۳۲/۴۴
Exp[۱۴]	۲۸/۱۷	۳۴/۳۶
Exp[۱۵]	۲۸/۵	۳۴/۴
GGA*	۲۷/۶۴	
LSDA+U*		۳۴/۳۳

* کار حاضر

فرومغناطیس رخ می‌دهد از پدیده‌هایی است که بسیار مورد توجه فیزیکدانان نظری و تجربی قرار گرفته است. این گذار و سایر ویژگیهای غیرمعمول سریم معمولاً به رفتارهای دو گانه الکترونیهای ۴f نسبت داده می‌شوند [۸ و ۹]. ما با استفاده از محاسبات ابتدا به

جدول ۲. داده‌های حجم تعادلی و گشتاور مغناطیسی حاصل از تقریبهای مختلف برای فاز آلفا.

method	V (Å ³)	a (Å)	M _{TOT} (μ _B)	M _{RMT} (μ _B)
GGA	۲۷/۴۸۲	۴/۷۹۰	-	-
GGA+SP	۲۷/۵۵۴	۴/۷۹۴	۰/۰۰۰۱۷	۰/۰۰۰۳۲
GGA+SP+SO	۲۷/۷۹۲	۴/۸۰۸	-۰/۰۰۰۳۷	-۰/۰۰۰۱۸
GGA+U	۲۷/۷۶۷	۴/۸۰۶	۰/۰۰۰۰۰	۰/۰۰۰۰۰
Exp. ^[۱۱]	۲۸/۵۲۱	۴/۸۴۹	۰/۰۰۰۰۰	-

M_{RMT} و M_{TOT} به ترتیب گشتاور مغناطیسی کل اتم و گشتاور مغناطیسی درون کرات موافق تین می باشند.

GGA به اندازه کافی هوشمند عمل نمی‌کند تا تفاوت فاز آلفا و گاما را از یکدیگر تشخیص دهند. این مسئله شکست تقریبهای LDA و GGA در توصیف دستگاههای همبسته قوی را به وضوح نمایان می‌کند.

پارامتر هابارد فاز گاما در مرجع ۶ برابر با eV $U = 4/4$ یعنی متفاوت با مقدار پارامتر هابارد فاز آلفا محاسبه شده است. در شکل ۳ با اعمال روش LDA+U و استفاده از پارامتر eV $U = 4/4$ یک کمینه در نمودار انرژی برحسب حجم نزدیک به حجم تعادلی تجربی فاز گاما مشاهده می‌شود. در شکل ۴ نیز این کمینه با اعمال روش GGA+U و استفاده از پارامتر eV $U = 4/4$ باز تولید شده است. همان طور که در شکل ۴ ملاحظه می‌شود به ازای eV $U = 6/1$ نمی‌توان حجم تعادلی فاز گاما را به دست آورد.

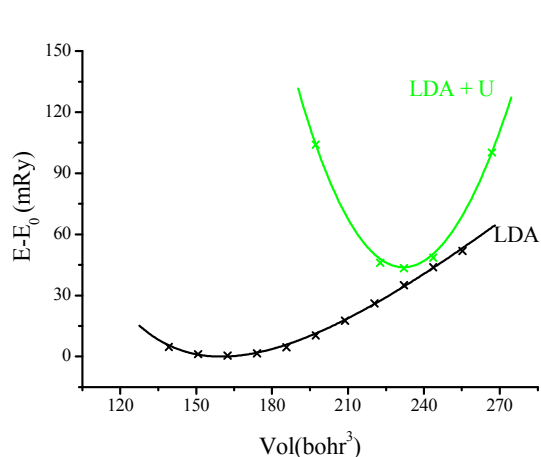
نمودار چگالی حالت‌های فاز گاما قبل و پس از اعمال همبستگی بین الکترونها در شکل ۵ رسم شده‌اند. نتایج چگالی حالت‌های فاز گاما (شکل ۵) بر خلاف چگالی حالت‌های فاز آلفا (شکل ۲) نشان می‌دهند که پس از اعمال تقریب LDA+U چگالی حالت‌های f به دو شاخه شکافته می‌شود و شاخه مربوط به اریتهالهای پر به زیر سطح فرمی انتقال می‌یابد. به این ترتیب تفاوت در میزان جایگزیدگی الکترون $4f$ در فاز گاما نسبت به فاز غیر جایگزیده آلفا آشکار می‌شود.

حجم تعادلی و گشتاورهای مغناطیسی فاز گاما در جدول ۳ ارائه شده‌اند. نتایج نشان می‌دهند که تقریب LDA در پیش بینی خاصیت مغناطیسی این فاز نیز موفق عمل نکرده است. همان طور که از جدول ۳ مشاهده می‌شود تقریب LDA این فاز را غیر مغناطیسی پیش بینی می‌کند. در حالی که تقریب LDA+U فرومغناطیس بودن

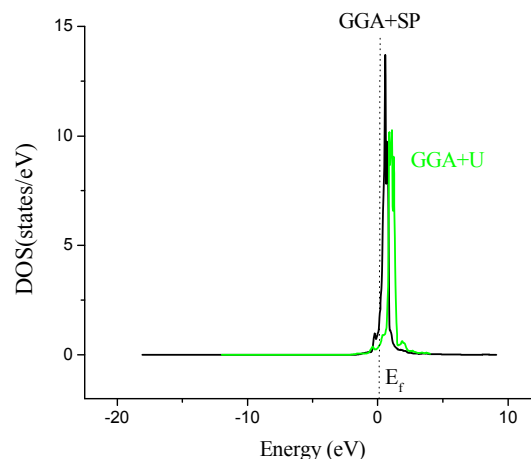
انرژی در حالت‌های الکترونی می‌شود [۱۶]، با اضافه کردن تصحیح اسپین-مدار به هامیلتونی کوهن-شم می‌توان جهتگیری مغناطش اسپینی نسبت به راستای شبکه و ناهمسانگردی مغناطیسی مواد را محاسبه کرد [۱۷]. آنیسمی و همکارانش پارامتر هابارد را برای فاز آلفا برابر با مقدار eV $6/1$ و پارامتر تبادل را برابر با eV $0/7$ محاسبه کردند [۱]. با استفاده از این مقادیر، تقریب GGA+U برای این فاز به کار برده شد که نتایج حاصل از آن در جدول ۲ گزارش شده است. نمودار چگالی حالت‌های الکترونی به دست آمده در این فاز در شکل ۲ رسم شده‌اند. همان طور که مشاهده می‌شود هر دو تقریب مکان اریتهال f را در سطح فرمی پیش‌بینی می‌کنند. این مسئله می‌تواند به معنای آن باشد که الکترون $4f$ در این فاز جز الکترونهاي ظرفیت به حساب می‌آید و جایگزیده نمی‌باشد. در واقع این امر که تقریب GGA ویژگیهای این فاز را به خوبی توصیف می‌کند گویای آن است که الکترون $4f$ در این فاز خاصیت همبستگی قوی از خود نشان نمی‌دهد. این مطلب با مشاهدات تجربی حاصل از آزمایشهای پراش نوترونی، بیناب نمایی و بیضی سنجی در توافق می‌باشد [۱۸].

۳.۲. فاز گاما

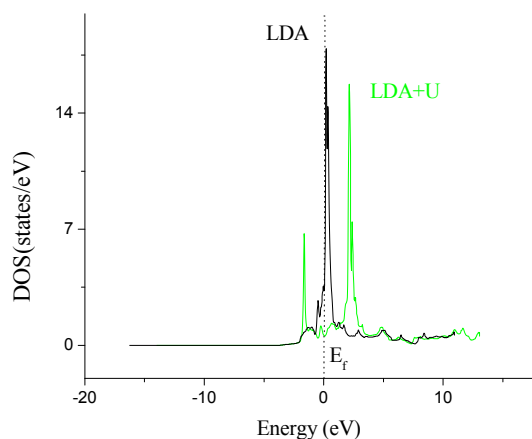
منحنیهای انرژی بر حسب حجم با استفاده از تقریبهای LDA و GGA به ترتیب در شکل‌های ۳ و ۴ رسم شده‌اند. همان طور که در شکل‌های ۳ و ۴ مشاهده می‌شود تقریبهای LDA و GGA قادر به پیش‌بینی تشکیل بلور نمی‌باشند و در صورت اصرار برای پیدا کردن یک نقطه پایدار، آنچه نهایتاً به دست می‌آید حجم تعادلی فاز آلفاست، نه فاز گاما. این بدان معنی است که تقریبهای LDA و



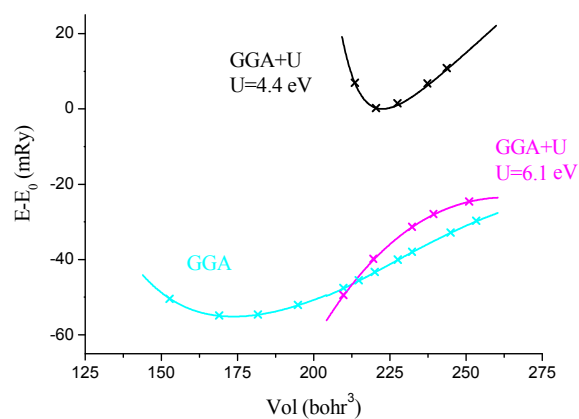
شکل ۳. نمودار انرژی برحسب حجم حاصل از تقریبهای LDA و LDA+U برای فاز گاما.



شکل ۲. چگالی حالت‌های اربیتال f فاز آلفا حاصل از تقریبهای GGA+U و GGA.



شکل ۵. چگالی حالت‌های اربیتال f فاز گاما حاصل از تقریبهای LDA و LDA+U.



شکل ۴. نمودار انرژی برحسب حجم حاصل از تقریبهای GGA و GGA+U برای فاز گاما.

جدول ۳. داده‌های حجم تعادلی و گشتاور مغناطیسی برای فاز گاما.

method	V (Å ³)	a (Å)	M _{TOT} (μ _B)	M _{RMT} (μ _B)
LDA+U	۳۴/۳۵۴	۵/۱۶۰	۱/۱۴۲۰۰	۰/۹۰۰
LDA	۲۴/۰۷۰	۴/۵۸۳	-۰/۰۰۵۰۰	-۰/۰۰۰۴
¹¹ Exp. ^[۱]	۳۴/۳۸۷	۵/۱۶۲	J=۵/۲ ^[۱]	-

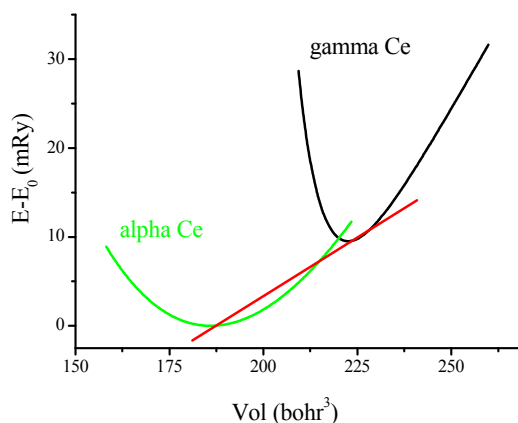
M_{TOT} و M_{RMT} به ترتیب گشتاور مغناطیسی کل اتم و گشتاور مغناطیسی درون کرات موافقین تین می‌باشند.

جدول ۴. فشار گذار فاز آلفا - گاما.

روش	exp.[۷]	LMTO [۲۰]	SIC-LSD[۷]	KVC model[۲۱]	Mott Model[۱۴]	کار حاضر
P(kbar)	۸	۲۲	۷	۳۰	۶	۱۱

LDA+U با اعمال پتانسیل هابارد الکترونیهای ۴f را به زیر سطح فرمی انتقال می‌دهد، نتیجه می‌گیریم که محاسبات ما تایید کننده نظریه گذار مات برای توضیح گذار فاز همساختار آلفا - گاما می‌باشند.

منحنیهای انرژی برحسب حجم دو فاز آلفا و گاما در شکل ۶ رسم شده‌اند. منحنیهای مربوط به فازهای آلفا و گاما با استفاده از تقریبهای GGA و GGA+U به دست آمده‌اند. با رسم شیب مشترک این دو منحنی، فشار گذار فاز را محاسبه کرده‌ایم. به این ترتیب فشار گذار فاز را برابر با ۱۱ kbar به دست آوردیم. فشار گذار فاز محاسبه شده با نتایج دیگران و تجربه در جدول ۴ مقایسه شده‌اند.



شکل ۶. نمودار گذار فاز آلفا - گاما در بلور سریم.

این فاز را تایید و مقدار گشتاور مغناطیسی کل را به خوبی به دست می‌دهد.

۴. نتیجه‌گیری

خواص ساختاری و الکترونی بلور سریم در دو فاز همساختار آلفا و گاما در چارچوب نظریه تابعی چگالی مورد بررسی قرار گرفته است. تابعی تبدلی - همبستگی با استفاده از تقریبهای LDA+U و GGA محاسبه شده‌اند. نتایج نشان می‌دهد که تقریب LDA+U با جایگزیده در نظر گرفتن الکترون ۴f، فاز ۷ و تقریب GGA با سیار در نظر گرفتن الکترون ۴f، فاز α را به خوبی توصیف می‌کنند. نتایج ما تایید کننده نظریه گذار مات برای توضیح گذار فاز همساختار آلفا - گاما می‌باشند. فشار گذار فاز محاسبه شده با تجربه سازگار است.

سپاسگزاری

مولفین از نظرات ارزنده جناب آقای دکتر هادی اکبرزاده کمال تشکر را به عمل می‌آورند و از واحد تحصیلات تکمیلی دانشگاه اصفهان و مرکز ابررایانه نانوفناوری محاسباتی وابسته به پژوهشکده نانو- پژوهشگاه دانشهای بنیادی (IPM) به خاطر حمایتهايش سپاسگزاری می‌نمایند.

۳.۳. گذار فاز آلفا - گاما

نظریه‌هایی که رفتار غیر متعارف سریم را توصیف می‌کنند به سه دسته کلی زیر تقسیم می‌شوند:

(الف) مدل پیش روی: در این مدل، گذار فاز به عنوان پیش روی الکترونیهای ۴f در لایه‌های ظرفیت، همراه با حرکت تیز تراز ۴f از بالای سطح فرمی به پایین آن توصیف می‌شود. [۹].

(ب) مدل رمبش حجمی کندو: در این مدل، گذار به واسطه تغییر سریع در استتار الکترونیهای ۴f ایجاد می‌گردد. در این مدل فرض می‌شود که هر دو فاز α و γ جایگزیده باشند [۷].

(ج) مدل گذار مات: در این مدل، الکترونیهای ۴f در فاز α ، سیار و در فاز γ ، جایگزیده در نظر گرفته می‌شوند [۱۹].

محاسبات ما نشان می‌دهند که تقریب LDA+U، فاز ۷ و تقریب GGA، فاز α را به خوبی توصیف می‌کنند. باتوجه به این که تقریب GGA با الکترونیهای ۴f مانند الکترونیهای ظرفیت رفتار می‌کند و هیچ گونه جایگزیدی برای آنها در نظر نمی‌گیرد و از طرفی تقریب

مراجع

- B864.
12. A B Shick, W E Pickett and A I Liechtenstein, arXiv:cind-mat/0001255 v1 (2000).
 13. B Johansson, I A Abrikosov and M Aldén, *Phys. Rev. Lett.* **74**, 12 (1994) 2335.
 14. J Laegsgaard and A Svane, *Phys. Rev. B* **59**, 5 (1998) 3450.
 15. D C Koshenmaki and K A Gschneidner; "Handbook on the Physics and Chemistry of Rare Earths", North-Holland, Amsterdam. Chap. 4 (1978).
 16. W E Pickett, A J Freeman and D D Koelling, *Phys. Rev. B* **23**, 3 (1980) 1266.
 17. S Blundell, "Magnetism in Condensed Matter", Oxford University Press (2001).
 18. D C Koshenmaki and K A Gschneider, "Handbook on the Physics and Chemistry of Rare Earths: Metals", North Holland Physics Publishing, Amsterdam, vol. 1, Chap. 4 (1981).
 19. K Held, A K McMahan and R T Scalettar; *Phys. Rev. Lett.* **87**, 27 (2001) 276404-1.
 20. D L Price, *Phys. Rev. B* **60**, 15 (1999) 10588.
 21. J W Allen and L Z Liu, *Phys. Rev. B* **46**, 9 (1991) 5047.
 1. V I Anisimov and O Gunnarsson, *Phys. Rev. B* **43** (1991) 7570.
 2. V I Anisimov, I V Solovyev, M A Korotin, M T Czyzyk, and G A Sawatzky, *Phys. Rev. B* **48** (1993) 16929.
 3. I V Solovyev, P H Dederichs and V I Anisimov, *Phys. Rev. B* **50** (1994) 16861.
 4. W E Pickett, S C Erwin. and E. C. Ethridge, *Phys. Rev. B* **58** (1998) 1201.
 5. O Bengone, M Alouani, P Blöchl, J Hugel, *Phys. Rev. B* **62**, (2000) 16392.
 6. M Cococcioni, Stefano de Gironcoli, arXiv : cond-mat/0405160v1 (2006).
 7. A Svane, *Phys. Rev. B* **53**, 8 (1995) 4275.
 8. S Jalali Asadabadi, *Phys. Rev. B* **75** (2007) 205130.
 9. K Haule, V Oudovenko, S Y Savrasov and G Kotliar, *Phys. Rev. Lett.* **94** (2005) 036401.
 10. P Blaha, K Schwarz, G H Madsen, D K vasnicka and J Luitz, WIEN2K, "An Augmented Plane Wave + Local Orbitals Program for Calculating Crystal ropertis", Karlheinz Schwarz, Techn. Universitate Wien, Austria, ISBN 3-9501031-1-2 (2001).
 11. P Hohenberg and W Kohn, *Phys. Rev. B* **136** (1964)